

مقاله پژوهشی:

مطالعه مقایسه‌ای پوشش ترانسکرپتومی و چندشکلی‌های تک نوکلئوتیدی ژنوم میتوکندری در گاو هلشتاین (*Bos taurus*) در مقابل کلیستانی (*Bos indicus*)

احمد تمروosi^۱, غلامرضا داشاب^{۲*}, محمدحسین بناعبازی^۳ و علی مقصودی^۴

۱. دانش آموخته کارشناس ارشد، گروه علوم دامی، دانشکده کشاورزی، دانشگاه زابل، زابل، ایران

۲. دانشیار ژنتیک و اصلاح دام، گروه علوم دامی، دانشکده کشاورزی، دانشگاه زابل، زابل، ایران

۳. دانشیار ژنتیک و اصلاح دام، بخش پژوهش‌های بیوتکنولوژی، موسسه تحقیقات علوم دامی کشور، سازمان تحقیقات، آموزش و ترویج کشاورزی، کرج، ایران

۴. دانشیار ژنتیک و اصلاح دام، گروه علوم دامی و بیوانفورماتیک، دانشکده کشاورزی، دانشگاه زابل، زابل، ایران

(تاریخ دریافت: ۱۴۰۰/۵/۱۲ - تاریخ پذیرش: ۱۴۰۱/۱/۲۸)

چکیده

هدف از انجام پژوهش حاضر، بررسی دلایل اختلاف بیان ژن پسیار فاصله بین دو زیر گونه گاو هلشتاین و کلیستانی و اهمیت ژنهای میتوکندری این دو نژاد شامل COX1, COX2, COX3, ND1 و ND2 می‌باشد که در فرآیندهای مهمی از جمله متabolism ارزی، در مقابل به با تش‌های زیستی و غیرزیستی و نیز مقاومت به بیماری نقش دارند. در این مطالعه از داده‌های RNA-Seq مربوط به ادغام ۴۰ نمونه از مرکز گاو شیری دانشگاه ویسکانسین آمریکا (*Bos indicus*) و ۴۵ گاو ماده کلیستانی (*Bos taurus*) در مزرعه گوجاتپیر شهر باهالپور واقع در ایالت پنجاب پاکستان استفاده شد. جهت بررسی سطح پوشش ترانسکرپتومی و اختلافات ژنتیکی که شامل نواحی چندشکلی، نواحی حذف و اضافه و نواحی اتصال بود از نرم افزار IGB استفاده شد. همچنین جهت تعیین مکان نواحی چندشکل و محاسبه درصد انواع جایگزینی‌های انتقالی و تقاطعی نوکلئوتیدها و هم‌ردیف سازی توالي‌ها نرم افزارهای MEGA6 و DnaSPV.5 استفاده شدند. نتایج حاصل از این مطالعه، بیانگر این بود که ژن COX1 به طول ۱۵۴۲ جفت باز، پیشترین سطح پوشش ترانسکرپتومی (کاوریج) در ژنوم میتوکندری را دارا بود و کمترین سطح پوشش ترانسکرپتومی مربوط به ژن ND1 بود. در بین ژنهای میتوکندری، ژن COX1 پیشترین میزان حذف و اضافه را نشان داد که در نژاد هلشتاین پیشتر از کلیستانی بود. تعداد نواحی چندشکل در جایگاه COX1 پیشتر از سایر ژنهای و برابر با ۱۹ ناحیه بود. همچنین نتایج نشان داد که درصد جایگزینی تک نوکلئوتیدی انتقالی در بازه‌ها پیشتر از جایگزینی تک نوکلئوتیدی تقاطعی می‌باشد که دلیل پایداری تغییرات در طی نسل‌های متفاوت هستند. بنابراین، دلایل احتمالی تفاوت بین ژنهای mtDNA می‌تواند در نتیجه تفاوت در اتفاقات فرآیندهای حذف و اضافه، پوشش ترانسکرپتوم و نواحی چندشکلی باشد.

واژه‌های کلیدی: بیان ژن، پوشش ترانسکرپتومی، کلیستانی، حذف و اضافه، هلشتاین.

A comparative study of transcriptome coverage and single nucleotide polymorphisms of mtDNA in Holstein (*Bos taurus*) vs. Cholistani (*Bos indicus*)

Ahmad Tamroosi¹, Gholam Reza Dashab^{2*}, Mohammad Hossein Banabazi³ and Ali Maghsoudi⁴

1. M.Sc. Graduate, Department of Animal Science, College of Agriculture, University of Zabol, Zabol, Iran
2. Associate Professor of Animal Breeding and Genetic, Department of Animal Science, College of Agriculture, University of Zabol, Zabol, Iran

3. Associate Professor, Department of Biotechnology, Animal Science Research Institute of Iran (ASRI), Agricultural Research, Education and Extension Organization (AREEO), Karaj, Iran.

4. Associate Professor of Animal Breeding and Genetic, Department of Animal Science and Bioinformatic, College of Agriculture, University of Zabol, Zabol, Iran
(Received: Aug. 3, 2021 - Accepted: Apr. 17, 2022)

ABSTRACT

This research aimed to investigate the reasons for the difference of gene expression between two subspecies of Holstein and Cholistani cattle and the importance of mitochondrial genes of these two breeds, the genes under study were COX1, COX2, COX3, ND1 and ND2, which are involved in essential processes such as energy metabolism, resistance to biological and non-biological stresses, as well as disease resistance. In this study, RNA-Seq data were used, including 40 samples from the University of Wisconsin Dairy Cattle Center (*Bos taurus*) and 45 Cholistani cows (*Bos indicus*) of Gujaratpir farm in Bahawalpur, Punjab, Pakistan. IGB software was used to investigate the level of transcriptome coverage and genetic differences, which included polymorphic, deletion and addition and binding regions. MEGA6 and DnaSPV.5 softwares were also used to determine the location of polymorphic areas as well as to calculate the percentage of different types of transitional and transversional replacements of nucleotides and to align sequences. The results showed that the COX1 gene, with a length of 1542 bp, had the highest level of transcriptome coverage in the mitochondrial genome and the lowest level of transcriptome coverage was related to the ND1 gene. Among mitochondrial genes, the COX1 gene showed the highest deletions and additions, which were higher in Holstein than Cholistani breeds. The number of polymorphic regions in the COX1 locus (19 areas) was higher than other genes. The results also showed that the percentage of transitional substitution is higher than transversional substitution which is the reason for the stability of changes during different generations. Therefore, possible reasons for differences in mtDNA gene expression may be due to differences in deletion and addition processes, transcriptome coverage, and polymorphic regions.

Keywords: Addition and deletion, Cholistani, Gene expression, Holstein, Transcriptome coverage.

* Corresponding author E-mail: dashab@uoz.ac.ir

جغرافیایی غیرتصادفی آنها نیازمند شناخت صحیح ساختار و تنوع ژنتیکی جمعیت‌ها، گامی در جهت توسعه برنامه‌های حفاظتی و مدیریت منابع ژنتیکی محسوب می‌شود (Groeneveld *et al.*, 2010). مطالعات بیوشیمیایی گستردۀ، در دوره ۱۹۶۰-۱۹۰۰، به توصیف مسیرهای کاتابولیک مستقر در میتوکندری، یعنی چرخه اسید سیتریک، بتا اکسیداسیون، انتقال الکترون میتوکندری و فسفوریلاسیون اکسیداتیو منجر شد. این واکنش‌ها مسئول تولید اکثر ATP سلولی (آدنوزین ۵'-تری فسفات)، مولکولی است که می‌تواند منبع پرانزه‌زی سلول محسوب شود. از این رو با توجه به عملکرد میتوکندری، به عنوان "نیروگاه سلول" شناخته می‌شود. با این حال فعالیت‌های دیگری به غیر از تولید انرژی در میتوکندری وجود دارد. این اندامکهای درون سلولی نقش مهمی در بیوساخت آمینواسید، نوکلئوباز، لیپید و کوفاکتور دارند. قابل توجه است که در شرایط کشت مناسب، تنفس میتوکندری قابل کنترل است، زیرا سلول‌های دارای نفس تنفس با استفاده از تولید گلیکولیز ATP قادر به رشد هستند. با این حال، میتوکندری‌ها، به دلیل عملکردهای آنابولیکی برای حیات سلول‌های یوکاریوتی ضروری می‌باشند (Fontanesi, 2001).

میتوکندری، کارخانه انرژی بدن است که نقش حیاتی در سلول هوازی ایفا می‌کند. گزارش شده است که تغییر DNA میتوکندری (mtDNA) با برخی بیماری‌های و سازگاری آب و هوایی (اقلیمی) مرتبط است (Pickrell and Youle, 2015; Ruiz-Pesini *et al.*, 2007). میتوکندری در متابولیسم یوکاریوتی، آپوپتوز، بیماری و پیری نقش اصلی دارد (Tuppen *et al.*, 2010). DNA میتوکندری دارای یک ناحیه غیرکد شونده (D-Loop) و نواحی کدشونده، متشکل از ۳۷ ژن، شامل ۱۳ پروتئین و ۲۲ tRNA که اسیدآمینه را شناسایی می‌کنند و ۲ rRNA و فاقد پروتئین‌های هیستون و اینتررون است. DNA میتوکندریایی در آکثر موجودات یک مولکول دو رشته‌ای و حلقوی با حدود ۱۶ هزار جفت نوکلئوتید می‌باشد و وزن مولکولی در حدود $10^{6}\times 10$ دالتون

مقدمه

گاو در پیشرفت فرهنگ و تمدن بشری، جایگاه ویژه‌ای داشته است. شواهد باستان‌شناسی فعلی و تجزیه و تحلیل ژنتیکی، دو رویداد اهلی شدن را نشان می‌دهند و این که چگونه نژادهای جدید گاو از گله‌های وحشی نشأت می‌گیرند. اهلی شدن زیرگونه بوس تائروس (تائورین) در خاور نزدیک بین سال‌های ۸۸۰۰ و ۸۳۰۰ قبل از میلاد (Helmer *et al.*, 2005) و زیرگونه بوس ایندیکوس (زبو) در حدود ۶۸۰۰ سال قبل از میلاد Ajmone- (Marsan *et al.*, 2010) مسیح از دره ایندوس منشأ گرفته است. شواهد باستان‌شناسی و ژنتیکی حاکی از آن است که گاوهای مدرن ممکن است ناشی از دو رویداد اهلی شدن گاو (bos پریمنیگوس) در جنوب غربی آسیا باشد که به ترتیب باعث به وجود آمدن گاوهای تائورین (bos تائروس) Loftus *et al.*, 1994) و زبو (bos ایندیکوس) شدند (Helmer *et al.*, 2005). با این حال، اهلی شدن Bradley *et al.*, 1996; Hanotte (and Jianlin, 2005 Mannen *et al.*, 2004) نیز فرض شده است و داده‌های DNA باستانی امکان تداخل ژنی از گاو وحشی را افزایش می‌دهند. همزمان با وقوع تغییرات گستردۀ در شرایط آب و هوایی زمین، لزوم تغییر نگرش در برنامه‌های اصلاح نژادی دام‌های اهلی بیشتر احساس می‌شود. کاهش تنوع ژنتیکی، افت ناشی از همخونی و بروز بیماری‌ها از جمله نگرانی‌های صنعت دام محسوب می‌شوند. این در حالی است که، سازگاری حاصل از انتخاب طبیعی در طی سالیان متتمادی موجب شده است که دام‌های بومی در مقایسه با نژادهای تجاری از مقاومت ژنتیکی و قدرت سازگاری بالاتری برخوردار باشند (Hoffmann, 2010). وجود این نوع تنوع ژنتیکی لازمه اجرای اهداف اصلاح نژادی پیش‌رو و سازگاری سریع نسبت به تغییرات محیطی خواهد بود. به همین جهت حفاظت از منابع ژنتیکی دام‌های بومی دارای اهمیت بوده و تغییر نگرش جهانی در جهت حفاظت از دام‌های بومی مناطق مختلف ضروری به نظر می‌رسد (Herrero-Medrano *et al.*, 2013). مطالعه وضعیت اکولوژیکی و تکاملی جمعیت‌ها به دلیل توزیع

زیرا زنجیره تنفسی، تولیدکننده اصلی واحدهای اکسیژن واکنشگر در سلول‌ها هستند؛ لذا محتویات میتوکندری‌ها، شامل ژنوم میتوکندری، از بیشترین تماس با پراکسیدها و آسیب ناشی از آن رنج می‌برند؛ به علاوه سیستم همانندسازی DNA میتوکندریابی نسبت به سیستم هسته‌ای، اثر کمتری در تصحیح غلطهای حاصل از همانندسازی و ترمیم آسیب DNA دارد و عدم وجود هیستون‌ها و پروتئین‌های محافظت کننده از جمله عواملی هستند که باعث بروز نرخ بالای جهش در mtDNA می‌گردند (Tuppen *et al.*, 2010).

ترانسکریپتوم مطالعه کاتالوگ‌های رونوشت در یک سلول، بافت یا ارگانیسم برای یک مرحله توسعه خاصی یا شرایط فیزیولوژیکی است (Tang *et al.*, 2009). ترانسکریپتوم مجموعه کامل از رونوشت‌ها است که شامل RNA پیام‌رسان، RNA‌های mRNA، RNA ریزوژومی (rRNA)، RNA انتقال‌دهنده، Okazaki *et al.* (tRNA) و سایر hncRNAs می‌باشند (Okazaki *et al.*, 2002). برخلاف ژنوم نسبتاً پایدار، عوامل مختلفی از جمله مرحله رشد، شرایط فیزیولوژیکی و محیط خارجی بر تغییرات ترانسکریپتوم تأثیر می‌گذارد. اهداف ترانسکریپتوم شامل حاشیه‌نویسی، تعیین ساختار کارکردی هر ژن در ژنوم و تغییرات در سطوح بیان ژن در میان نمونه‌های مختلف ترانسکریپتوم می‌باشد (Tang *et al.*, 2009; Costa *et al.*, 2010).

COPX1 یک اکسید از ترمینال Copper-bemeA است که در غشای داخلی میتوکندری تعییه شده است. انتقال الکترون از c Cytochrome به اکسیژن مولکولی که در یک فرآیند همراه با انتقال پروتون‌ها در طول غشای داخلی اتفاق می‌افتد، منجر به ایجاد شبیه پروتون می‌شود که بوسیله ATP به کار می‌رود تا ساخت ATP را هدایت کند. آنزیم COX1 یک مولتی آنزیم است که توسط ۱۴ زیرواحد پروتئینی با منشأ ژنتیکی دوگانه تشکیل شده است. سه زیرواحد تشکیل دهنده‌ی هسته کاتالیزوری آنزیم COX2, COX3, COX1 (COX1) توسط میتوکندری و باقی‌مانده توسط DNA هسته‌ایی کدگذاری می‌شوند. ساختار زیرواحدهای هسته از اجداد میتوکندری تا COX انسان حفظ

Dard (2007; Bao *et al.*, 2008; Gray, 2012) در بعضی از mtDNA مثلاً (نماتدها و آنلیدها) (Kujoth).

در بعضی از ژن‌ها در یک جهت رونویسی می‌شوند، در حالی که در برخی دیگر، قابلیت رونویسی در هر دو جهت را دارند (Tuppen *et al.*, 2010). توالی mtDNA میتوکندری (mtDNA) می‌تواند یک ابزار زنده برای استقرار محلهای اهلی‌سازی باشد. نقطه کانونی تنوع mtDNA گاوها کوهان‌دار در شبه‌جزیره هند با توجه به مناطق فراغی، نشان‌دهنده اهلی شدن Bos indicus در هند و پس از مهاجرت به جنوب غرب آسیا، چین و جنوب شرقی آسیا است (Chen *et al.*, 2009). به طور مشابه، Bos taurus دارای بیشترین تنوع در جنوب غربی آسیا با چهار mtDNA مختلف Troy *et al.*, 2001 می‌باشد (T1, T2, T3 و T4).

به دلیل هایپوئید بودن ژنوم میتوکندری و در نتیجه انجام نشدن فرآیند میوز، ژنوم میتوکندری قابلیت بالایی در مطالعات فیلوجنتیکی دارد. منطقه‌ای در ژنوم میتوکندری وجود دارد که کدکننده پروتئین نبوده و جهش در آن منطقه می‌تواند تجمع پیدا کند. این منطقه در ناحیه D-Loop قرار دارد، ناحیه پیشبر برای آغاز همانندسازی ژنوم میتوکندری است (Anderson *et al.*, 1981). همانند ژنوم هسته، DNA میتوکندری نیز تحت تأثیر جهش‌های مختلف قرار می‌گیرد که اغلب این جهش‌ها مضر هستند. از آنجایی که میتوکندری از مادر به فرزندان منتقل می‌شود، در نتیجه جهش‌های میتوکندریایی نیز از مادر به نسل بعد انتقال می‌یابند. مطالعات متعددی ارتباط جهش‌های مختلف میتوکندری را با بیماری‌هایی از جمله دیابت، بیماری‌های متابولیکی، سرطان و غیره نشان داده‌اند. علاوه بر این گزارش شده است که تجمع جهش‌های مختلف در میتوکندری، در طول عمر یک انسان با بروز پیری رابطه مستقیم دارد (Bandiera *et al.*, 2013; Cooper and Hausamn, 2007).

میزان بروز جهش در DNA میتوکندری ۱۰ تا ۱۷ بار بیشتر از بخش مشابه در ژنوم هسته‌ای می‌باشد،

این دو نژاد تفاوت فنتوپی قابل توجه بین این دو نژاد است (Levin *et al.*, 2010; Marguerat and Bahler, 2010). از آنجایی که در برخی از ژن‌های میتوکندری تفاوت بیان ژن بسیار فاحش (تا ۱۰۰۰ برابر) بین دو زیرگونه هلشتاین و کلیستانی مشاهد شده و با توجه به اهمیت ژن‌های موجود در فرآیندهای مهمی از جمله متابولیسم انرژی که در مقابله با تنش‌های زیستی و غیرزیستی و نیز مقاومت به بیماری نقش دارند، انجام یک مطالعه که پوشش ترانسکریپتومی را در دنوم میتوکندری بررسی کند، ضروری می‌باشد. لذا هدف از مطالعه حاضر بررسی دلایل بیان متفاوت در ژنوم میتوکندری، بین دو نژاد هلشتاین و کلیستانی از نظر ساختار ژنتیکی و کاربریج می‌باشد.

مواد و روش‌ها

جمعیت مورد مطالعه

در این مطالعه از داده‌های با دسترسی آزاد RNA-Seq مریبوط به اdagam ۴۰ نمونه از مرکز گاو شیری دانشگاه ویسکانسین آمریکا (*Bos taurus*) و ۴۵ گاو ماده کلیستانی (*Bos indicus*) در مزرعه گوجاتپیر شهر باهاوالپور واقع در ایالت پنجاب پاکستان استفاده شد. این داده‌ها در مطالعه Huang *et al.* (2012) تولید شدند.

کتابخانه‌های RNA آماده شده برای هر نژاد روی یک خط دستگاه Illumina Genome Analyzer IIx. با پلتفرم Hiseq2000 توالی‌بایی شدند. نتیجه توالی‌بایی تولید ۲۰،۹۴۰،۰۶۳ و ۲۱،۰۷۸،۴۷۷ هر دو انتها توالی‌بایی شده) به طول ۷۵ جفت باز به ترتیب برای نژادهای هلشتاین و کلیستانی بود. داده‌های خام برای هر نژاد در تاریخ ۲۲ ژوئیه ۲۰۱۳ در بخش آرشیو خوانش‌های کوتاه (short sequence) Read (sequence) Read (SRA) با یک اطلاعاتی مرکز ملی اطلاعات بیوتکنولوژی (NCBI) منتشر شده و با فرمت sra به صورت رایگان و عمومی از لینک‌های زیر قابل دریافت است؛ نژاد کلیستانی (<http://www.ncbi.nlm.nih.gov/sra/SRS454433>

نژاد هلشتاین و <http://www.ncbi.nlm.nih.gov/sra/SRS454432> اطلاعات تجزیه و بررسی‌های پروفایل بیان افتراقی ژن‌ها و فراخوانی ترانسکریپتوم نمونه جمعیت گاو

شده‌اند. COX3 و COX1 به شدت هیدروفوپ، غشاء پروتئینی یکپارچه بدون هیچ حوزه، خارج از غشاء هستند. COX2 از یک طرف توسط غشای بیرونی بوده که شامل دو مارپیچ Transmembrane است به COX1 متصل می‌شود و از طرف دیگر COX3 به COX2 متصل می‌شود (Soto *et al.*, 2012). زیر واحدهای COX1 و COX2 شامل مراکز فعال فلزی احیاکننده آنزیم هستند. دامنه بیرونی COX2 به فضای intermembrane (ims) بسط می‌یابد تا به cytochrome c متصل شود. یک مرکز مسی که نامیده می‌شود، الکترون‌ها را از سیتوکروم c قابل حل می‌پذیرد. مرکز cuA در ناحیه لوپ در پایین دامنه فعالیت COX2 در خط اتصال COX1 و COX1 قرار دارد. از cuA، الکترون‌ها به heme a3-cub در مرکز دوهسته‌ایی، جایی که O₂ به آب کاهش می‌یابد (Soto *et al.*, 2012).

پروتئین NADH دهیدروژناز به انتقال الکترون و هیدروژن کمک می‌کند تا ATP را از طریق پیشروی فسفریلاسیون تولید کند. بنابراین سهم عظیمی در انتقال پروتون در سراسر غشای میتوکندری داخلی دارد که در تنظیم pH سولول‌ها دخیل است (Schauer *et al.*, 2015).

در بررسی ساختار ژن‌های میتوکندری نتایج ۸۰ مکان چندشکل در ژن MT-ND1 و ۶۷ مکان در ژن MT-ND2 را نشان داد و هنگامی که جهش‌های غیرمتراوف مورد تجزیه و تحلیل قرار گرفتند، تفاوت معنی‌داری در ترکیب پایه بین MT-ND1 و MT-ND2 مشاهده نشد. در جایگاه ژنی ۱۲ MT-ND1 جهش خطا کشف شد که در آن شش SNP فقط در یاک‌های تیبتان وجود داشت و دو SNP فقط در گاوهای Xuanhan (شوانان) وجود داشتند (Shi *et al.*, 2018).

نژاد کلیستانی (*Bos indicus*) شباهت بسیار زیادی با نژاد سیستانی دارد و به تحمل حرارت و مقاومت در برابر کنه و بیماری مشهور است (Fries & Ruvinsky, 1999). در مقابل گاو هلشتاین جزو نژادهای غالب در صنعت گاو شیری است. علت انتخاب

نژاد هلشتاین و کلیستانی در جدول ۱ ارائه شده است. بیان کمی ژن‌های میتوکندری استفاده شده در مطالعه حاضر در دو نژاد هلشتاین و کلیستانی در جداول ۲ ارائه شده است.

محاسبه سطح پوشش ژنومی یا کاوریججهت بررسی سطح کاوریج ژن‌های میتوکندری و تعیین اختلافات ژنتیکی در پنج ژن میتوکندری در دو نژاد هلشتاین و کلیستانی از برنامه IGB نسخه 9.1.0 استفاده شد (Freese *et al.*, 2016)، که مراحل انجام کار و تجزیه‌ها بشرح زیر می‌باشد؛ بارگذاری فایل gtf داده‌های کمی بیان افتراقی ژن‌ها در قالب فرمت به همراه ژنوم مرجع و سپس تجزیه سطح پوشش ژنومی یا کاوریج می‌باشد. همچنین در قالب برنامه ذکور اختلافات ژنتیکی شامل نواحی چندشکل، نواحی حذف و اضافه و نواحی اتصال به تفکیک برای هر ژن میتوکندری استخراج گردید.

هلشتاین آمریکا و گاو کلیستانی پاکستان در تحقیق Banabazi *et al.* (2016, 2019) Salimpour *et al.* (2013) گزارش شده است. با توجه به این که تجزیه بیان افتراقی بین دو نژاد هلشتاین و کلیستانی در تعدادی از ژن‌های میتوکندری تفاوت بیان معنی‌داری را در ژنوم میتوکندری نشان دادند، لذا اطلاعات ژن‌های ذکور هدف مطالعه حاضر قرار گرفت تا دلایل بیان متفاوت آنها توضیح داده شود.

استخراج ژن‌های میتوکندری با استفاده از پایگاه‌های داده ژنومی NCBI به آدرس Ensembl و <https://www.ncbi.nlm.nih.gov/> آدرس توالی <https://asia.ensembl.org/index.html> پنج ژن میتوکندری برای گاو هلشتاین (*Bos taurus*) و گاو کلیستانی (*Bos indicus*) استخراج و به فرمت FASTA ذخیره گردید. اطلاعات مربوط به شماره دسترسی، نام ژن، موقعیت در ژنوم میتوکندری در دو

جدول ۱. مشخصات مربوط به پنج ژن میتوکندری در گاو هلشتاین (*Bos taurus*) و کلیستانی (*Bos indicus*)Table 1. Specifications of five mtDNA genes in Holstein (*Bos taurus*) and Choleistani (*Bos indicus*) cattle

Number	Gene_id	Gene name	Locus	Gene type	p_value	q_value
Holstein						
1	ENSBTAG00000043561	COX1	MT:5686-7299	protein coding	0.0001	0.0001
2	ENSBTAG00000043556	COX2	MT:7373-8057	protein coding	0.001	0.0001
3	ENSBTAG00000043560	COX3	MT:8128-9750	protein coding	0.01	0.00148
4	ENSBTAG00000043558	ND1	MT:3100-4056	protein coding	0.05	0.01
5	ENSBTAG00000043571	ND2	MT:4265-5307	protein coding	0.001	0.0013
Cholistani						
1	ENSBTAG00000043561	COX1	MT:5686-7299	protein coding	0.0001	0.00011
2	ENSBTAG00000043556	COX2	MT:7373-8057	protein coding	0.01	0.002
3	ENSBTAG00000043560	COX3	MT:8128-9750	protein coding	0.001	0.0012
4	ENSBTAG00000043558	ND1	MT:3100-4056	protein coding	0.01	0.001
5	ENSBTAG00000043571	ND2	MT:4265-5307	protein coding	0.001	0.0001

جدول ۲. بیان کمی ژن‌های میتوکندری در گاو هلشتاین (*Bos taurus*) و کلیستانی (*Bos indicus*)Table 2. Quantitative expression of mitochondrial genes in Holstein (*Bos taurus*) and Choleistani (*Bos indicus*) cattle

Gene_id	Gene name	locus	length	Coverage	FPKM	FPKM conf-lo	FPKM conf-hi
Holstein							
ENSBTAG00000043561	COX1	MT:5686-7231	1545	15241.2	7808.35	7484.06	8132.63
ENSBTAG00000043556	COX2	MT:7373-8057	684	7189.95	3587.74	3546.38	3629.1
ENSBTAG00000043560	COX3	MT:8969-9750	781	11963.5	6136.29	5878.35	6394.22
ENSBTAG00000043558	ND1	MT:3100-4056	956	5000.34	2543.46	2514.69	2572.23
ENSBTAG00000043571	ND2	MT:4265-5307	1042	2559.14	1291.45	1271.77	1311.14
Cholistani							
ENSBTAG00000043561	COX1	MT:5686-7231	1545	18280.4	8605.82	8248.86	8962.77
ENSBTAG00000043556	COII	MT:7373-8057	684	8479.63	3647.51	3605.93	3689.1
ENSBTAG00000043560	COX3	MT:8969-9750	781	19580.4	9056.71	8678.48	9434.93
ENSBTAG00000043558	ND1	MT:3100-4056	956	3354.47	1774.65	1751.2	1798.1
ENSBTAG00000043571	ND2	MT:4265-5307	1042	3047.01	1382.39	1362.7	1402.09

یک ژن یا چندین ژن مجاور را نیز حذف کنند. حذف موجب می‌شود تا عملکرد پروتئین یا پروتئین‌های (Groeneveld *et al.*, 2010) حاصله نیز تغییر یابند (). نتایج تغییرات حذف در ساختار ژنتیکی ژنوم میتوکندری در دو نژاد هلشتاین و کلیستانی به واسطه حذف نقطه‌ای در جدول ۳ ارائه شده است. بیشترین تعداد نواحی حذف در گاوها هلشتاین و کلیستانی مربوط به ژن COX1 به ترتیب با ۲۶۷ و ۲۱۸ نقطه و کمترین نواحی حذف مربوط به ND2 به ترتیب با ۵۳ و ۳۷ ناحیه حذف بودند. در بین دو نژاد هلشتاین و کلیستانی در هر جایگاه ژنی تعداد نواحی حذف در نژاد هلشتاین بیشتر از نژاد کلیستانی بود. نتایج بررسی تغییرات ژنتیکی به واسطه اضافه شدن، نشان داد که جایگاه ژن COX1 در هر دو نژاد هلشتاین و کلیستانی بیشترین نقاط اتصال (جانک)، به ترتیب با ۱۰ و ۱۱ ناحیه را نشان دادند. بدین ترتیب که در نژاد هلشتاین، در ۱۰ ناحیه مشتمل بر ۱۰۲ جفت باز و در کلیستانی در ۱۱ ناحیه مشتمل بر ۱۱۶ جفت باز به طول ژن اضافه شده است. جایگاه‌های ژنی COX2 و ND2 هیچ ناحیه اضافه شدن را نشان ندادند و در جایگاه ژنی COX3 و ND1 با ۶ و ۲ ناحیه در هلشتاین به ترتیب موجب اضافه شدن ۴۸ و ۲۲ جفت باز به طول ژن‌های مذکور و در جایگاه ژنی COX3 در نژاد کلیستانی با ۳ ناحیه منجر به اضافه شدن ۳۳ جفت باز گردیده است. نتایج سطح پوشش ترانسکریپتومی در دو نژاد هلشتاین و کلیستانی در جدول ۴ و شکل ۱ ارائه شده است.

جهت محاسبه نواحی چندشکل و همچنین محاسبه درصد جایگزینی نوکلئوتیدها از برنامه Tamura *et al.*, 2013 استفاده شد (). Open reading frame (frame) پنج ژن میتوکندری در دو نژاد هلشتاین و کلیستانی از برنامه IGB استخراج و ویرایش گردید و MEGA6 در قالب فرمت FASTA در تجزیه با Librado (Tamura *et al.*, 2013) و DnaSP (Rozas, 2002) مورد استفاده قرار گرفت، به منظور تعیین نواحی چندشکل توالی دو گونه با ژنوم مرجع هم‌دیف شدند. همچنین نواحی ORF به توالی اسیدآمینه نیز ترجمه شده و سپس برای محاسبه شاخص‌هایی مانند درصد جایگزینی تقاطعی و انتقالی و نسبت آنها مورد استفاده قرار گرفتند.

نتایج و بحث

دانش تنوع، تمایز و ساختار ژنتیکی جمعیت اطلاعات حیاتی برای حفاظت و مدیریت منابع ژنتیکی حیوانی را فراهم می‌نماید (Hoffmann, 2010)، بنابراین حفظ تنوع ژنتیکی در جمعیت گاو جهان برای تامین منابع ژنتیکی برای مواجهه با چالش‌های اقتصادی-اجتماعی در آینده از جمله امنیت غذایی، افزایش رقابت برای پرورش و تنوع بیشتر در شرایط آب و هوایی متفاوت حائز اهمیت می‌باشد (Herrero-Medrano *et al.*, 2013).

تغییرات حذف در تعدادی از بازه‌ای DNA موجب می‌شود تا طول DNA تغییر کند. جهش‌های حذفی کوچک یک یا چند جفت باز را از ژن حذف می‌کنند، در حالی که جهش‌های حذفی بزرگتر می‌توانند کل

جدول ۳. نواحی حذف در دو نژاد هلشتاین و کلیستانی در ژنوم میتوکندری
Table 3. Deletion regions in Holstein and Cholistani breeds in the mitochondrial genome

Number	Gene name	Holstein		Cholistani	
		Number of region	Number of deletion	Number of region	Number of deletion
1	COX1	267	294	192	218
2	COX2	84	97	52	57
3	COX3	116	126	114	122
4	ND1	74	83	23	26
5	ND2	53	62	35	37

جدول ۴. نتایج پوشش ژنومی یا کاریج در بین ژن‌های میتوکندری در دو نژاد هلشتاین و کلیستانی
Table 4. Results of coverage transcriptome among mitochondrial genes in Holstein and Cholistani breeds

Number	Gene name	Start	End	Length	Strand
1	COX1	5686	7228	1542	+
2	COX3	8969	9750	781	+
3	COX2	7373	8054	681	+
4	ND2	42665	5307	1042	+
5	ND1	3100	4056	956	+

نوکلئوتید T به شماره ۶۲۴۹ قرار دارد و کمترین سطح پوشش ترانسکریپتومی متعلق به ND2 بود. در مطالعه‌ای به منظور ارزیابی پوشش و عمق ترانسکریپتومی توسط RNA-Seq در مرغ، RNA-Seq دو بار با استفاده از دو نمونه cDNA مرغ انجام شد. اولین اجرای RNA-seq تعداد کمتری خوانش و تنوع بیشتری از نظر تعداد کل خوانش‌های بین دو نمونه داشت، در حالی که در مرحله دوم تعداد زیادی خوانش و تنوع بسیار کمی بین دو نمونه وجود داشت (Wang & Chang, 2011).

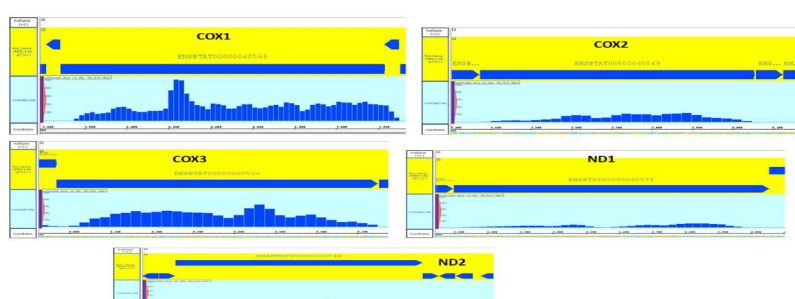
تغییر در بازها در هر جفت باز را چندشکلی یا نواحی پلی‌مورف می‌نامند. تغییر در بازهای نوکلئوتیدی ممکن است همشکل باشند یعنی یک باز از گروه پیریمیدین به باز دیگر از همین گروه تبدیل شده و همچنین باز از گروه پورین به باز دیگری از همین گروه تبدیل بشود، به این نوع تغییرات جهش‌های انتقالی یا جایگزینی انتقالی گفته می‌شود. تبدیل باز از یک گروه با بازی از گروه دیگر جهش یا جایگزینی تقاطعی گفته می‌شود و نسبت جایگزینی انتقالی به تقاطعی به عنوان شاخصی در تکامل استفاده می‌شود.

جایگزینی در توالی نوکلئوتیدی و آمینواسیدی جایگاه ژن COX1

برای جایگاه ژن COX1 در مقایسه توالی‌های دو نژاد هلشتاین و کلیستانی با ژنوم مرجع به طول ۱۵۴۲ جفت باز مشتمل بر ۱۹ جهش یا ناحیه چندشکل بودند. همچنین ترجمه توالی‌های مذکور به آمینواسید تنها بیانگر دو جهش نقطه‌ای و تغییر آمینواسید در زنجیره پروتئینی بود (شکل‌های ۲ و ۳).

مهمترین ویژگی توالی‌بایی نسل جدید این است که هر باز از DNA چندین بار توالی‌بایی می‌شود. تعداد دفعاتی که یک موقعیت در آزمایش توالی‌بایی نسل جدید توالی‌بایی می‌شود (به عبارت دیگر تعداد خوانش‌هایی که شامل این موقعیت هستند) کاوریج (عمر توالی‌بایی) نامیده می‌شود. وجود چندین خوانش در یک موقعیت یکسان برای حذف خطاهای توالی‌بایی و مهمتر از آن برای تشخیص هتروزیگوستی لازم است (Freese et al., 2016). بیشترین پوشش کاوریج در جایگاه ژن COX1 در نواحی نوکلئوتیدی A به شماره ۶۲۲۵ الی نوکلئوتید T به شماره ۶۲۴۹ قرار داشت. نتایج پوشش کاوریج در جایگاه ژن COX3 در بین دو نژاد هلشتاین و کلیستانی بیانگر بیشترین سطح پوشش کاوریج در نواحی نوکلئوتیدی A بشماره توالی ۹۴۵۰ الی نوکلئوتید T به شماره ۹۴۷۴ بود. بیشترین سطح پوشش کاوریج در جایگاه ژن COX2 در دو نژاد هلشتاین و کلیستانی در نواحی نوکلئوتیدی T بشماره توالی ۷۸۷۵ الی نوکلئوتید C به شماره ۷۸۹۹ قرار داشت. همچنین در جایگاه ژنی ND2 در دو نژاد هلشتاین و کلیستانی، بیشترین سطح پوشش کاوریج در نواحی نوکلئوتیدی T بشماره توالی ۴۹۰۰ الی نوکلئوتید A به شماره ۴۹۲۴ واقع بود و در نهایت، نتایج پوشش ترانسکریپتومی در جایگاه ژنی ND1 در دو نژاد هلشتاین و کلیستانی بیانگر بیشترین سطح پوشش کاوریج در نواحی نوکلئوتیدی T بشماره توالی ۳۸۰۰ تا نوکلئوتید C به شماره ۳۸۴۹ می‌باشد (شکل ۱).

نتایج پوشش ترانسکریپتومی بیانگر این است که ژن COX1 دارای بالاترین سطح پوشش ترانسکریپتومی بوده که بیشترین پوشش کاوریج آن در نواحی نوکلئوتیدی A به شماره ۶۲۲۵ الی



شکل ۱. نتایج پوشش کاوریج در پنج جایگاه ژنی mtDNA در دو نژاد هلشتاین و کلیستانی
Figure 1. Results of coverage transcriptome at the five gene locus of mtDNA in Holstein and Cholistani breeds

#B_taurus_Jun_2014_:_chrM #NC_006853.1:5687-7231_Bos_taurus_mitochondrion_complete_genome #NC_005971.1:5690-7234_Bos_indicus_mitochondrion_complete_genome	ATGTTCAATTACCGCTGACT ATTCTCAACC AGCCATAAG ATATGGTAC CCTTTATCTA CTATTTGATG CTGGGGCCG A..... C..... G.....
#B_taurus_Jun_2014_:_chrM #NC_006853.1:5687-7231_Bos_taurus_mitochondrion_complete_genome #NC_005971.1:5690-7234_Bos_indicus_mitochondrion_complete_genome	TATAGTAGGA ACAGCTCTAA GCCTTCTAAT TCGCGCTGAA TTAGGCCAAC CGGAACTCT GCTCGGAGAC GACCAAAT T.....
#B_taurus_Jun_2014_:_chrM #NC_006853.1:5687-7231_Bos_taurus_mitochondrion_complete_genome #NC_005971.1:5690-7234_Bos_indicus_mitochondrion_complete_genome	ACAACGCACT TGTAACCGCA CACGCATTG TAATAATCTT CTTCATAGTA ATACCAATCA TAATTGGAGG ATTGGTAAC T..... T..... G.....
#B_taurus_Jun_2014_:_chrM #NC_006853.1:5687-7231_Bos_taurus_mitochondrion_complete_genome #NC_005971.1:5690-7234_Bos_indicus_mitochondrion_complete_genome	TGACTTGTTC CCCTAATAAT TGTTGCTCCC GATATAGCAT TTCCCCGAAT AAATAATATA AGCTTCTGAC TCCCTCC T.....
#B_taurus_Jun_2014_:_chrM #NC_006853.1:5687-7231_Bos_taurus_mitochondrion_complete_genome #NC_005971.1:5690-7234_Bos_indicus_mitochondrion_complete_genome	GCAACCTAGC CCATGCAGGA GCTTCAGTAG ATCTAACCAT TTTCTCTTA CACTTAGCAG GAGTTCTCTC AATTCTAGGA T.....
#B_taurus_Jun_2014_:_chrM #NC_006853.1:5687-7231_Bos_taurus_mitochondrion_complete_genome #NC_005971.1:5690-7234_Bos_indicus_mitochondrion_complete_genome	GCCATCAACT TCATTACAAC AATTATCAC AATAAGCCCC CCGCAATGTC ACAATACAA ACCCTCTGT TCGTATGATC A.....
#B_taurus_Jun_2014_:_chrM #NC_006853.1:5687-7231_Bos_taurus_mitochondrion_complete_genome #NC_005971.1:5690-7234_Bos_indicus_mitochondrion_complete_genome	ACCTAAATAC AACCTTCTTC GACCCGGAGA GAGGAGGAGA CCCTATTCTA TATCAACACT TATTCTGAT CTTGGACAC T..... T..... C.....
#B_taurus_Jun_2014_:_chrM #NC_006853.1:5687-7231_Bos_taurus_mitochondrion_complete_genome #NC_005971.1:5690-7234_Bos_indicus_mitochondrion_complete_genome	CCCGAAAGCT ATATTTAAT CTTACCTGGG TTGGATAAA TCTCTCATAT CGTACCTAC TACTCAGGAA AAAAAGAAC A..... A.....
#B_taurus_Jun_2014_:_chrM #NC_006853.1:5687-7231_Bos_taurus_mitochondrion_complete_genome #NC_005971.1:5690-7234_Bos_indicus_mitochondrion_complete_genome	ATTTACAGTA GGGGGTTAA CTGGAATTGT CTTAGCCAAC TCTTCCCTCG ATATTGTTCT TCAGCACACA TACTACGTT G..... T.....
#B_taurus_Jun_2014_:_chrM #NC_006853.1:5687-7231_Bos_taurus_mitochondrion_complete_genome #NC_005971.1:5690-7234_Bos_indicus_mitochondrion_complete_genome	TCGCACATT CCACTATGTT TTATCAATAG GAGCTGTATT TGCTATTATA GGGGGATTG TTCATTGATT CCCACTATT T.....
#B_taurus_Jun_2014_:_chrM #NC_006853.1:5687-7231_Bos_taurus_mitochondrion_complete_genome #NC_005971.1:5690-7234_Bos_indicus_mitochondrion_complete_genome	TCAGGTTAA CTCTCACAGA TACATGAGCC AAAATCCACT TCGCAATTAT ATTGTAGGC GTCAATATAA CCTCTTCC T.....

شكل ۲. نواحی چندشکل بر اساس توالی‌های نوکلئوتیدی در جایگاه ژنی COX1 در مقایسه دو نژاد هلشتاین و کلیستانی

Figure 2. Polymorphic regions based on nucleotide sequences at the COX1 gene locus in comparison between Holstein and Cholistani breeds.

#B_taurus_Jun_2014_:_chrM #NC_006853.1:5687-7231_Bos_taurus_mitochondrion_complete_genome #NC_005971.1:5690-7234_Bos_indicus_mitochondrion_complete_genome	MFINR*LFST SHKDIGTLYL LFDWAGIVG TALSLLRAE LGQPGTLLGD DQIYNAYVTA HAFVIIFIV IPIIIGGGN N..... G..... V.....
--	---

شكل ۳. نواحی چندشکل بر اساس توالی‌های آمینواسیدی در جایگاه ژنی COX1 در مقایسه دو نژاد هلشتاین و کلیستانی

Figure 3. Polymorphic regions based on amino acid sequences at the COX1 gene locus in comparison between Holstein and Cholistani breeds.

جدول ۵ می‌باشد. اعداد در قطر بیانگر درصد جایگزینی انتقالی و اعداد خارج قطر جایگزینی تقاطعی را نشان می‌دهند. مجموع فراوانی‌ها برابر با یک است. فراوانی نوکلئوتیدها در جایگاه COX1 برای بازه‌های آدنین، تیمین، سیتوزین و گوانین به ترتیب برابر با ۲۸/۶۶، ۲۹/۷۴، ۲۵/۲۷ و ۱۶/۳۲ بودند.

تغییرات یا جایگزینی آمینواسیدی شامل تبدیل سرین به آسپارژین، آسپارتیک اسید به گلیسین و آلانین به والین بودند. همچنین در مقایسه ژنوم دو نژاد تمام تغییرات مربوط به نژاد کلیستانی بودند. الگوی تعویض و ترخ جایگزینی بر اساس مدل Tamura & Nei (1993)، در جایگاه ژنی COX1 در دو نژاد هلشتاین و کلیستانی مطابق با

جدول ۵ درصد جایگزینی انتقالی و تقاطعی در توالی نوکلئوتیدی جایگاه ژن COX1 در دو نژاد هلشتاین و کلیستانی
Table 5. Percentage of transitional and transversional substitution in the nucleotide sequence of COX1 gene locus in Holstein and Cholistani

Nucleotide	A	T/U	C	G
A	-	0.76	<i>0.65</i>	15.66
T/U	0.73	-	23.76	0.42
C	0.73	27.96	-	0.42
G	27.50	0.76	0.65	-

* نسبت جایگزینی از یک ردیف به ستون می‌باشد. اعداد خارج قطر (یاتالیک) جهش تقاطعی و اعداد روی قطر (پرنگ) جانشینی انتقالی را نشان می‌دهند.

*The replacement ratio is one row to one column. Numbers outside the diameter (*italic*) indicate the transversional substitution and numbers on the diameter (**Bold**) indicate the transition substitution.

۱۶/۷۰ و گوانین به آدنین ۳۸/۷۵ درصد بودند و مجموع جانشینی بازهای پیریمیدینی ۴۴/۴۹ درصد بود. همچنین میزان جایگزینی بازهای پورینی به پیریمیدینی ۰/۰۲ و پیریمیدینی به پورینی ۰/۰۱ درصد پیش‌بینی گردید. فراوانی جهش‌های تقاطعی در مقایسه با جهش‌های انتقالی بسیار کم بود و این نسبت برابر با ۱۶۶۵/۶۷ محاسبه شد.

جایگزینی در توالی نوکلئوتیدی و آمینواسیدی COX3

در جایگاه ژن COX3 در مقایسه توالی نوکلئوتیدی به طول ۷۸۱ جفت باز در دو نژاد هلشتاین و کلیستانی شامل ۹ ناحیه چندشکل بود و براساس توالی آمینواسیدی تنها دو ناحیه چندشکل را نشان داد (شکل‌های ۵ و ۶).

تغییرات آمینواسیدی شامل تبدیل میتونین و والین به ایزولوسین بودند. الگوی جایگزینی بازها در طول ژن COX3 با طول ۷۸۱ جفت باز در مقایسه دو نژاد هلشتاین و کلیستانی در جدول ۷ ارائه شده است. فراوانی بازها شامل آدنین، تیمین، سیتوزین و گوانین به ترتیب برابر با ۲۶/۵۵، ۶۵/۸۱ و ۱۴/۹۴ درصد بودند.

نتایج حاصل از درصد جابجاگی توالی نوکلئوتیدی ژن COX3 نشان داد که مقدار بالای جانشینی مربوط به بازهای پورینی به میزان ۶۵/۸۱ درصد بود. بدین ترتیب که تبدیل آدنین به گوانین ۲۳/۷۰ درصد و تبدیل گوانین به آدنین ۴۲/۱۱ درصد را شامل می‌شد و مجموع جانشینی بازهای پیریمیدینی ۳۴/۱۴ درصد برآورد شدند. تبدیل تیمین به سیتوزین ۱۶/۹۶ درصد و سیتوزین به تیمین ۱۷/۱۸ درصد بود. همچنین میزان جایگزینی بازهای پورینی به پیریمیدینی ۰/۰۲ و پیریمیدینی به پورینی ۰/۰۱ درصد محاسبه شد. نسبت جایگزینی انتقالی به تقاطعی ۱۶۶۵/۸۳ محاسبه شد.

نتایج حاصل از درصد جابجاگی توالی نوکلئوتیدی ژن COX1 نشان داد که مقدار بالای جانشینی مربوط به بازهای پیریمیدینی به میزان ۵۱/۷۲ درصد بود. بدین صورت که در بازهای پیریمیدینی تبدیل سیتوزین به تیمین ۲۷/۹۶ درصد و تیمین به سیتوزین ۲۳/۷۶ درصد بودند و مجموع جانشینی بازهای پورینی برابر با ۴۳/۱۶ درصد محاسبه شد. بدین ترتیب که میزان تبدیل آدنین به گوانین ۱۵/۶۶ و گوانین به آدنین ۲۷/۵۰ درصد بودند. همچنین میزان جایگزینی بازهای پورینی به پیریمیدینی ۱/۴۱ و پیریمیدینی به پورینی ۱/۱۵ درصد بودند. بنابراین بیشترین تغییرات از نوع جهش‌های انتقالی هستند. نسبت جایگزینی انتقالی به تقاطعی برابر با ۱۸/۳۸ محاسبه گردید.

جایگزینی در توالی نوکلئوتیدی و آمینواسیدی COX2

در جایگاه ژن COX2 با طول ۶۸۱ نوکلئوتید، ۶ ناحیه چندشکل یا جهش شناسایی شد. تغییرات بر اساس توالی آمینواسیدی در جایگاه ژن COX2 تنها مشتمل بر یک چندشکلی بود میتونین به ایزولوسین تغییر یافته است (شکل‌های ۴ و ۵).

درصد جایگزینی در توالی نوکلئوتیدی بر اساس مدل تامورا-نئی در جایگاه ژن COX2 مطابق با جدول ۶ است. در جایگاه مذکور فراوانی نوکلئوتیدهای آدنین، تیمین، سیتوزین و گوانین با طول ۶۸۱ جفت باز به ترتیب برابر با ۳۴/۰۷، ۲۷/۲۶، ۲۳/۹۸ و ۱۴/۶۸ درصد برآورد شدند که بازهای آدنین و تیمین بیشترین فراوانی و باز گوانین کمترین فراوانی را دارا هستند.

نتایج حاصل از درصد جابجاگی توالی نوکلئوتیدی ژن COX2 نشان داد که مقدار بالای جانشینی مربوط به بازهای پورینی به میزان ۵۵/۴۵ درصد بودند. بدین صورت که در بازهای پورینی تبدیل آدنین به گوانین

```

GCTAATAATT GTCTTCTTAAGTAGCTCATT AGTACTTTAC ATTATTCAC TAATACTAAC GACAAAGCTG ACCCATACAA
..... ..... A.....
GACTATTAGA AGTCGATAAT CGAGTTGTAC TACCAATAGA AATAACAATC CGAATGTTAG TCTCCTCTGA AGACGTATTA
..... ..... C.....
CACTCATGAG CTGTGCCCTC TCTAGGACTA AAAACAGACG CAATCCCAGG CCGTCTAAAC CAAACAAACCC TTATATCGTC
..... ..... T.....
CCGTCAGGC TTATATTACG GTCAATGCTC AGAAATTGCG GGGTCAAAC ACAGTTTCAT GCCCATTGTC CTTGAGTTAG
..... ..... A.....
TCCCACTAAA GTACTTTGAA AAATGATCTG CGTCAATATT A
..... ..... A.....

```

شکل ۴. نواحی چندشکل بر اساس توالی‌های نوکلئوتیدی در جایگاه ژنی COX2 در مقایسه دو نژاد هلشتاین و کلیستانی
Figure 4. Polymorphic regions based on nucleotide sequences at the COX2 gene locus in comparison between Holstein and Cholistani breeds.

```

H5*AVPSLGL KTDAPGRLN QTTLISSRPG LYYGQCSEIC GSNHSFMPIV LELVPLKYFE K*SASIL
..... ..... I.....

```

شکل ۵. نواحی چندشکل بر اساس توالی‌های آمینواسیدی در جایگاه ژنی COX2 در مقایسه دو نژاد هلشتاین و کلیستانی
Figure 5. Polymorphic regions based on amino acid sequences at the COX2 gene locus in comparison between Holstein and Cholistani breeds.

جدول ۶ درصد جایگزینی انتقالی و تقاطعی در توالی نوکلئوتیدی جایگاه ژن COX2 در دو نژاد هلشتاین و کلیستانی
Table 6. Percentage of transitional and transversional substitution in the nucleotide sequence of COX2 gene locus in Holstein and Cholistani

*Nucleotide	A	T/U	C	G
A	-	0.01	0.01	16.70
T/U	<i>0.01</i>	-	20.82	0.00
C	<i>0.01</i>	23.67	-	0.00
G	38.75	0.01	0.01	-

* نسبت جایگزینی از یک ردیف به ستون می‌باشد. اعداد خارج قطر (ایتالیک) جهش تقاطعی و اعداد روی قطر (پر رنگ) جانشینی انتقالی را نشان می‌دهند.

*The replacement ratio is one row to one column. Numbers outside the diameter (*italic*) indicate the transversional substitution and numbers on the diameter (**Bold**) indicate the transition substitution.

```

ATGACACACC AAACCTCATGC TTATCATATA GTAAACCCAA GCCCTTGACC TCTTACAGGA GCTTTGTCTG CCCTCTTAAT
..... ..... C.....
A..... ..... T.....
..... ..... C.....
AACATCCGGC CTAACCATGT GATTCACCT TAACCTAATG ACCCTGCTAA TAATTGGCCT AACAAACAAAT ATACTAACAA
..... ..... A.....
..... ..... A.....
TATGGAATAA TTCTTTTTAT TATCTCCGAA GTACTATTCT TTACCGGATT TTTCTGAGCT TTCTACCACT CAAGCCTCGC
..... ..... G.....
..... ..... G.....
CCCCACCCCT GAACTAGGCG GCTGCTGACC CCCAACAGGC ATTCAACCCAC TAAACCCCT AGAAGTCCC CTGCTCAACA
..... ..... G.....
..... ..... G.....
CAAGCCCTAT TTATCACCAT CACATTAGA GTCTACTTCA CACTACTACA AGCCTCAGAA TACTATGAAG CACCTTTAC
..... ..... A.....
..... ..... A.....
TATCTCCGAC GGAGTTTACG GCTCAACCTT TTTTGTAGCC ACAGGGCTCC ACGGCCTCCA CGTCATCATT GGGTCCACCT
..... ..... T.....
..... ..... A.....

```

شکل ۶. نواحی چندشکل بر اساس توالی‌های نوکلئوتیدی در جایگاه ژنی COX3 در مقایسه دو نژاد هلشتاین و کلیستانی
Figure 6. Polymorphic regions based on nucleotide sequences at the COX3 gene locus in comparison between Holstein and Cholistani breeds.

MTHQTHAYHI VNPSP*PLTG ALSALLITSG LTM*FHFNSM TLLIIGLTTN ILTIYQ**RD VIRESTFQGH HTPAVQKGLR
 I.....
 QALFITITLG VYFTLLQASE YYEAPFTISD GVGSTFFVA TGFHGLHVII GSTFLIVCF RQLKFHTSN HHFGFEAAA*
 I.....

شکل ۷. نواحی چندشکل بر اساس توالی‌های آمینواسیدی در جایگاه ژن COX3 در مقایسه دو نژاد هلشتاین و کلیستانی
 Figure 7. Polymorphic regions based on amino acid sequences at the COX3 gene locus in comparison between Holstein and Cholistani breeds.

جدول ۷. درصد جایگزینی انتقالی و تقاطعی در توالی نوکلئوتیدی جایگاه ژن COX3 در دو نژاد هلشتاین و کلیستانی
 Table 7. Percentage of transitional and transversional substitution in the nucleotide sequence of COX3 gene locus in Holstein and Cholistani

*Nucleotide	A	T/U	C	G
A	-	0.01	0.01	23.70
T/U	<i>0.01</i>	-	16.96	0.00
C	<i>0.01</i>	17.18	-	0.00
G	42.11	<i>0.01</i>	0.01	-

* نسبت جایگزینی از یک ردیف به ستون می‌باشد. اعداد خارج قطر (یاتالیک) جهش تقاطعی و اعداد روی قطر (پر رنگ) جانشینی انتقالی را نشان می‌دهند.

*The replacement ratio is one row to one column. Numbers outside the diameter (*italic*) indicate the transversional substitution and numbers on the diameter (**Bold**) indicate the transition substitution.

۴۰/۲۰ درصد بود. تبدیل تیمین به سیتوزین ۲۰/۲۰ درصد و سیتوزین به تیمین ۱۹/۸۳ درصد بود. میزان جایگزینی تقاطعی بازه‌ای پورینی به پیریمیدینی ۱/۲۳ درصد و پیریمیدینی به پورینی ۰/۹۸ درصد محاسبه شد. نسبت جایگزینی انتقالی به تقاطعی برابر با ۲۱/۶۷ بود.

جایگزینی در توالی نوکلئوتیدی و آمینواسیدی جایگاه ژن ND2

مقایسه توالی‌های نوکلئوتیدی به طول ۱۰۴۲ جایگاه ژن ND2 محتوای ۱۲ ناحیه چندشکل و بر اساس توالی آمینواسیدی سه ناحیه چندشکل را نشان داد (شکل‌های ۱۰ و ۱۱).

جایگزینی آمینواسیدی شامل تبدیل ایزولوسین به میتونین، والین به لوسین و سرین به آسپارژین بودند. الگوی جایگزینی بازها در نواحی چندشکل در جایگاه ژن ND2 با طول ۱۰۴۲ جفت باز در دو نژاد هلشتاین و کلیستانی در جدول ۹ ارائه شده است. نسبت بازه‌ای آدنین، تیمین، سیتوزین و گوانین در جایگاه مذکور به ترتیب برابر با ۳۱/۸۰، ۲۷/۴۸، ۲۸/۰۰ و ۱۲/۷۳ درصد بودند.

نتایج حاصل از درصد جایگزینی توالی نوکلئوتیدی جایگاه ژن ND2 بیانگر مقدار بالای جانشینی مربوط به

جایگزینی در توالی نوکلئوتیدی و آمینواسیدی جایگاه ژن ND1

در جایگاه ژن ND1 در مقایسه توالی نوکلئوتیدی به طول ۹۵۶ جفت باز در دو نژاد هلشتاین و کلیستانی شامل ۲۰ ناحیه چندشکل بود و بر اساس توالی آمینواسیدی سه ناحیه چندشکل را نشان داد (شکل‌های ۸ و ۹). تغییرات آمینواسیدی شامل تبدیل میتونین به ایزولوسین، والین به لوسین و ترئونین به ایزولوسین بودند.

الگوی جایگزینی بازها در نواحی چندشکل در جایگاه ژن ND1 با طول ۹۵۶ جفت باز در دو نژاد هلشتاین و کلیستانی در جدول ۸ ارائه شده است. درصد بازه‌ای آدنین، تیمین، سیتوزین و گوانین در جایگاه مذکور به ترتیب برابر با ۵۵/۵۶ درصد بودند. بدین صورت که در بازه‌ای پورینی تبدیل آدنین به گوانین ۱۵/۸۸ درصد و تبدیل گوانین به آدنین ۳۹/۶۸ درصد شامل می‌شد و مجموع جایگزینی بازه‌ای پیریمیدینی

نتایج درصد جایگزینی انتقالی و تقاطعی توالی نوکلئوتیدی ژن ND1 در دو نژاد هلشتاین و کلیستانی (جدول ۸) بیانگر مقدار بالای جانشینی انتقالی مربوط به بازه‌ای پورینی به میزان ۵۵/۵۶ درصد بودند. بدین صورت که در بازه‌ای پورینی تبدیل آدنین به گوانین ۱۵/۸۸ درصد و تبدیل گوانین به آدنین ۳۹/۶۸ درصد شامل می‌شد و مجموع جایگزینی بازه‌ای پیریمیدینی

سیتوزین ۷/۶۵ درصد و سیتوزین به تیمین ۸/۲۳ بودند. همچنین میزان جایگزینی تقاطعی بازهای پورینی به پیریمیدینی ۳/۱۸ درصد و پیریمیدینی به پورینی ۲/۶۳ درصد بود. نسبت جایگزینی انتقالی به تقاطعی برابر با ۷/۶۰ بود.

بازهای پورینی به میزان ۷۲/۵ درصد بود. بدین صورت که در بازهای پورینی تبدیل آدنین به گوانین ۱۴/۲۳ درصد و گوانین به آدنین ۵۸/۳۷ را شامل می‌شد و مجموع جانشینی بازهای پیریمیدینی ۱۵/۸۸ درصد بود. در بازهای پیریمیدینی میزان تبدیل تیمین به

```

ATGTTCATAA TTAACATCTT AATACTAATT ATTCCCATCC TATTGGCCGT AGCATTCCCT ACGTTAGTGG AACGAAAAGT
..... . .... T .. A .. .
TCTAGGCTAT ATACAACCTCC GAAAAGGTCC AAATGTCGTA GGTCCATATG GCCTACTTCA ACCCATGCC GATGCAATCA
..... . .... G .. .
AACTTTTCAT TAAAGAACCA CTACGACCCG CTACATCTTC AGCCTCAATA TTTATCCTAG CACCTATCAT AGCTTTAGGC
..... . .... C .. C ..
CTAGCCTAA CCATGTGAAT TCCCCTACCA ATACCCTATC CTCTTATCAA CATAAACCTA GGAGTCCTAT TTATACTAGC
..... . .... C .. .
CATATCAAGC CTAGCGTAT ACTCCATTCT CTGATCAGGC TGAGCTTCCA ACTCAAATA CGCACTAATC GGAGCCCTAC
..... . .... G .. .
GAGCAGTAGC ACAAACAAATC TCATACGAAG TAACGCTAGC ATTATCCCTG TTATCAGTGG TCCTAATAAG TGGGTCCCTTT
..... . .... A .. AC .. .
ACCCCTCTCA CATTAAATTAC TACACAAGAA CAAATATGGT TAATCCCTCC AGCATGGCCT CTAGCAATAA TATGATTAT
..... . .... T .. .
AATATGCAGC AGGACCATTG GCCCTCTTCT TCATAGCAGA GTACGCAAAT ATTATCATAA TAAATATCTT TACAGCAATT
..... . .... C .. .
TTATTCCCTAG GAACATCCC CAATCCACAC ATACCAGAAC TCTACACAAT CAATTTTACC ATAAATCCC TACTGCTCAC
..... . .... C .. .
AATATCCCTC CTATGAATCC GAGCATCCCTA CCCTCGATTG CGCTATGACC AACTAATACA CTTACTATGA AAAAATTTC
..... . .... T .. C ..
TACCTCTGAC ACTAGCCCTG TGCAATGTGAC ACGTATCCCT ACCCATCCCT ACATCAGGCA TCCCACCACA AACATA
..... C .. A .. .

```

شکل ۸. نواحی چندشکل بر اساس توالی‌های نوکلئوتیدی در جایگاه ژن ND1 در مقایسه دو نژاد هلشتاین و کلیستانی
Figure 8. Polymorphic regions based on nucleotide sequences at the ND1 gene locus in comparison between Holstein and Cholistani breeds.

```

LALTM*IPLP IPYPLINILN GVLFILAISS LAVYSIL*SG *ASNSKYALI GALRAVAQTI SYEVTLAIL LSVVLISGSF
..... . .... . .... . .... L .. .
TLSTLITTQE QIWILILPAWP LAII*FISTL AETNRAPFDL TEGESELVSG FNVEYAAGPF ALFFIAEYAN IIIINIFTAI
..... I .. . .... . .... . .... .

```

شکل ۹. نواحی چندشکل بر اساس توالی‌های آمینواسیدی در جایگاه ژن ND1 در مقایسه دو نژاد هلشتاین و کلیستانی
Figure 9. Polymorphic regions based on amino acid sequences at the ND1 gene locus in comparison between Holstein and Cholistani breeds.

جدول ۸. درصد جایگزینی انتقالی و تقاطعی در توالی نوکلئوتیدی جایگاه ژن ND1 در دو نژاد هلشتاین و کلیستانی
Table 9. Percentage of transitional and transversional substitution in the nucleotide sequence of ND1 gene locus in Holstein and Cholistani

*Nucleotide	A	T/U	C	G
A	-	0.61	0.62	15.88
T/U	0.70	-	20.20	0.28
C	0.70	19.83	-	0.28
G	39.68	0.61	0.62	-

*نسبت جایگزینی از یک ردیف به ستون می‌باشد. اعداد خارج قطر (ایتاک) جهش تقاطعی و اعداد روی قطر (پر رنگ) جانشینی انتقالی را نشان می‌دهند.

*The replacement ratio is one row to one column. Numbers outside the diameter (*italic*) indicate the transversional substitution and numbers on the diameter (**Bold**) indicate the transition substitution.

```

ATAAACCCAA TTATCTTAT TATTATTCTA CTAACCATT AACTAGGAAC TATTATTGTC ATAATCAGTT CTCACTGACT
..... ..... ..... ..... ..... ..... ..... G.... .....
AAGCATCAAC TAAATATTT TTGACTCAAT CAACAGCCTC AATACTACTA ATAATAGCCG TCATCATTAA CGTAAATATTG
..... ..... C.... ..... ..... ..... ..... ..... C.... .
TCAGGCCAAT GAACCGTAAT AAAACTATTT AGCCCAATAG CCTCAACTACT TATAACGATA GCCCTAGCTA TAAAACCTAGG
..... ..... A.... ..... ..... ..... ..... ..... A.... .
AAAAACTAGC ACCTATATCT GTACTTTACC AAATCTTCCC ATCAATTAAC CTAAACTTAA TTCTAACCCCT ATCAGTTTTA
..... ..... ..... ..... ..... ..... ..... ..... G..T.. .....
TCAATCCTAA TTGGAGGCTG AGGGGGACTA AACCAAACAC AACTCCGAAA AATCATAGCC TACTCATCAA TCGCTCATAT
..... ..... A.... ..... ..... ..... ..... ..... ..... .
AGGCTGAATA ACAGCAGTAC TACCATATAA CCCCACCATA ACATTGCTAA ACTTAATTAT CTATATCATT ATAACCTCCA
..... ..... ..... ..... ..... ..... ..... A.... ..... .
CCATATTTAC CATATTTATA GCCAATTCCA CCACCACTAC CCTGTCTTAA TCACACACAT GAAATAAAAC ACCCATTATA
..... ..... T.... ..... ..... ..... ..... ..... .
ACCGTCCTAA TTCTTGCCAC TCTCTATCC ATAGGAGGAC CCCCTCCCCT ATCTGGGTTT ATACAAAAAT GAATAATCAT
..... A.... ..... ..... ..... ..... ..... .
AAAAAAATAA CTTTCTTAC AACAATAGTC GTATTATCTA CCATAACTACT ACCACTCACG CCAACTAT CAGTGTAGA
..... ..... ..... ..... ..... ..... A.... ..... .

```

شکل ۱۰. نواحی چندشکل بر اساس توالی‌های نوکلئوتیدی در جایگاه ژنی ND2 در مقایسه دو نژاد هلشتاین و کلیستانی
Figure 10. Polymorphic regions based on nucleotide sequences at the ND2 gene locus in comparison between Holstein and Cholistani breeds.

```

INPIIFIIIL LTIILGTIIIV IISSH*LLV* IGFEINILAI IPIIIKNHNP RATEASTKYF LTQ5TASILL IIAVIINVIF
..... ..... ..... ..... ..... ..... ..... ..... M.... ..... ..... ..... ..... L...
SGQ*TVIKLF SPIASILITI ALAIKLGIAF FHF*VPEVTQ GIPLSSGLIL LT*QKLAPIS VLYQIFPSIN LNLILTLSVL
..... ..... ..... ..... ..... ..... ..... ..... N.... ..... ..... .

```

شکل ۱۱. نواحی چندشکل بر اساس توالی‌های آمینواسیدی در جایگاه ژنی ND2 در مقایسه دو نژاد هلشتاین و کلیستانی
Figure 11. Polymorphic regions based on amino acid sequences at the ND2 gene locus in comparison between Holstein and Cholistani breeds.

جدول ۹. درصد جایگزینی انتقالی و تقاطعی در توالی نوکلئوتیدی جایگاه ژن ND2 در دو نژاد هلشتاین و کلیستانی

Table 9. Percentage of transitional and transversional substitution in the nucleotide sequence of ND2 gene locus in Holstein and Cholistani breeds

*Nucleotide	A	T/U	C	G
A	-	<i>1.65</i>	<i>1.53</i>	14.23
T/U	2.11	-	7.65	0.52
C	2.11	8.23	-	0.52
G	58.27	<i>1.65</i>	<i>1.53</i>	-

* نسبت جایگزینی از یک ردیف به ستون می‌باشد. اعداد خارج قطر (ایتالیک) جهش تقاطعی و اعداد روی قطر (پر رنگ) جانشینی انتقالی را نشان می‌دهند.

*The replacement ratio is one row to one column. Numbers outside the diameter (*italic*) indicate the transversional substitution and numbers on the diameter (**Bold**) indicate the transition substitution.

به متمازیزکردن جمعیت‌ها از یکدیگر داشته و بالعکس،
جريان ژنی جمعیت‌ها را به یکدیگر شبیه‌تر می‌نماید.
نتایج بیانگر این بود که ژن COX1 به طول ۱۵۴۲ جفت باز، بیشترین سطح پوشش ترانسکریپتومی در
ژنوم میتوکندری را در بین دو نژاد هلشتاین و

نتیجه‌گیری کلی
از دیدگاه متخصصین ژنتیک جمعیت، تمایز ژنتیکی
بین جمعیت‌ها همزمان با یک تعادل و توازن بین
رانش و جريان ژنی شروع شده و هر جمعیت متحمل
نرخ جهش و رانش ژنتیکی خود خواهد شد که تمایل

تأثیر قرار داده است. همچنین تفاوت‌های قابل توجهی در نسبت جایگزینی انتقالی و تقاطعی در جایگاه‌های مورد مطالعه مشاهده شد که بیشتر تغییرات مربوط به جانشینی انتقالی بودند و درصد جانشینی تقاطعی خیلی کم بود و این مسئله بیانگر پایداری تغییرات در ژنوم هست. بنابراین از نظر ساختاری دلایل احتمالی تفاوت بیان ژن‌های میتوکندری در دو نژاد هلشتاین و کلیستانی می‌تواند حذف و اضافه، میزان چندشکلی و سطح پوشش ترانسکریپتوم باشد.

کلیستانی دارد و کمترین سطح پوشش ترانسکریپتومی مربوط به ژن ND2 بود. در بین ژن‌های میتوکندری، ژن COX1 با بیشترین تعداد SNP به تعداد ۱۹ ناحیه و زنجیره پروتئینی آن با ۲ ناحیه چندشکلی بیشترین میزان چندشکلی را در بین ژن‌های مورد مطالعه نشان داد که این امر نشان‌دهنده این می‌باشد که شرایط محیطی تا چه حدی بر میزان تغییرات و اختلافات ژنوم گونه‌های مدنظر مؤثر بوده و به طور کل مسیر بیوشیمیابی ژنوم را تا چه حد تحت

REFERENCES

1. Ajmone-Marsan, P., Lenstra, J. A., Fernando Garcia, J. & Con-sortium, G. (2010). On the origin of cattle: how aurochs became domestic and colonized the world. *Evolutionary Anthropology Issues News and Reviews*, 19, 148-57.
2. Anderson, S., Bankier, A. T., Barrell, B. G., De Bruijn, M. H. L., Coulson, A. R., Drouin, J., Eperon, I. C., Nierlich, D. P., Roe, B. A., Sanger, F., Schreier, P. H., Smith, A. J. H., Staden, R. & Young, I. G. (1981). Sequence and organization of the human mitochondrial genome. *Nature*, 290, 457-465.
3. Banabazi, M. H., Ghaderi-Zefreh, M., Imumorin, I. & Peters, S. (2013). Whole Transcriptome Value Index (WTVI): A methodology for integrating functional sequences from RNA-Seq data into animal selection. *21st International Conference on Plant and Animal Genome*, 12-16 pp, San Diego, United States.
4. Bandiera, S., Matégot, R., Girard, M., Demongeot, J. & Henrion-Caude, A. (2013). MitomiRs delineating the intracellular localization of microRNAs at mitochondria. *Free Radical Biology and Medicine*, 64, 12-19.
5. Bao, H., Zhao, C., Zhang, L., Li, J. & Wu, C. (2008). Single-nucleotide polymorphisms of mitochondrially coded subunit genes of cytochrome c oxidase in five chicken breeds: *DNA Sequence*, 19(5), 461-464.
6. Bradley, D. G., MacHugh, D. E., Cunningham, P. & Loftus, R. T. (1996). Mitochondrial diversity and the origins of African and European cattle. *Proceedings of the National Academy of Sciences*, 93, 5131-5135.
7. Chen, Y. F., Kao, C. H., Chen, Y. T., Wang, C. H., Wu, C. Y., Tsai, C. Y., Liu, F. C., Yang, C. W., Wei, Y. H., Hsu, M. T., Tsai, S. F. & Tsai, T. F. (2009). Cisd2 deficiency drives premature aging and causes mitochondria-mediated defects in mice. *Genes & Development*, 23(10), 1183-1194.
8. Cooper, G. M. & Hausman, R. E. (2007). *The Cell: A Molecular Approach*. 4th edition Washington, D.C., Sunderland, Mass., ASM Press.
9. Costa, V., Angelini, C., De Feis, I. & Ciccodicola, A. (2010). Uncovering the complexity of transcriptomes with RNA-Seq. *Journal of Biomedicine and Biotechnology*, 2010, 1-16.
10. Fontanesi, F. (2001). Mitochondria: structure and role in respiration. *eLS*, 1-13.
11. Freese, N. H., Norris, D. C. and Loraine, A. E. (2016). Integrated Genome Browser: Visual analytics platform for genomics. *Bioinformatics*, 32 (14), 2089-2095.
12. Fries, R. & Ruvinsky, A. (1999). *The Genetics of Cattle*. New York: CABI Publishing.
13. Gray, M. W. (2012). Mitochondrial evolution. *Cold Spring Harbor Perspectives in Biology*, 4(9), a011403.
14. Groeneveld, L. F., Lenstra, J. A., Eding, H., Toro, M. A., Scherf, B., Pilling, D., Negrini, R., Finlay, E. K., Jianlin, H., Groeneveld, E., Weigend, S. & Consortium, G. (2010). Genetic diversity in farm animals—a review. *Animal Genetics*, 41, 6-31.
15. Hanotte, O. & Jianlin, H. (2005). *Genetic Characterization of Livestock Populations and Its Use in Conservation Decision-Making*. Villa Gualino, Turin, Italy. 5-7 March, 131-136.
16. Helmer, D., Gourichon, L., Monchot, H., Peters, J. & San˜a Segui, M. (2005). Identifying early domestic cattle from pre-pottery neolithic sites on the middlle euphratesusing sexual dimorphism. In *The First Steps of Animal Domestication: New Archaeozoological Approaches* (eds J.-D. Vigne, D. Helmer & J. Peters), pp. 86-95. Oxford, UK: Oxbow Books.
17. Herrero-Medrano, J. M., Megens, H. J., Groenen, M. A., Ramis, G., Bosse, M., Pérez-Enciso, M. & Crooijmans, R. P. (2013). Conservation genomic analysis of domestic and wild pig populations from the Iberian Peninsula. *BMC Genetics*, 14(1), 106.

18. Hoffmann, I. (2010). Climate change and the characterization, breeding and conservation of animal genetic resources. *Animal Genetics*, 41, 32-46.
19. Huang, W., Nadeem, A., Zhang, B., Babar, M., Soller, M. & Khatib, H. (2012). Characterization and comparison of the leukocyte transcriptomes of three cattle breeds. *PLoS One*, 7(1), e30244.
20. Kujoth, G. C., Bradshaw, P. C., Haroon, S. & Prolla, T. A. (2007). The role of mitochondrial DNA mutations in mammalian aging. *PLoS Genetics*, 3(2), e24.
21. Levin, J., Adiconis, X., Yassour, M., Thompson, D., Guttman, M., Berger, M. & Regev, A. (2010). Development and evaluation of RNA-Seq methods. *Genome Biology*, 11(Suppl 1), 1-1.
22. Librado, P. & Rozas, J. (2009). DnaSP v5: software for comprehensive analysis of DNA polymorphism data. *Journal of Bioinformatics*, 25, 1451-1452.
23. Loftus, R. T., MacHugh, D. E., Bradley, D. G., Sharp, P. M. & Cunningham, P. (1994). Evidence for two independent domestications of cattle. *Proceedings of the National Academy of Sciences*, 91, 2757-2761.
24. Mannen, H., Kohno, M., Nagata, Y., Tsuji, S., Bradley, D. G., Yeo, J. S., Nyamsamba, D., Zagdsuren, Y., Yokohama, M., Nomura, K. & Amano, T. (2004). Independent mitochondrial origin and historical genetic differentiation in north eastern Asian cattle. *Molecular Phylogenetic Evolution*, 32, 539-544.
25. Marguerat, S. & Bähler, A. (2010). RNA-Seq: from technology to biology. *Cellular and Molecular Life Sciences*, 67(4), 569-579.
26. Okazaki, Y., Furuno, M., Kasukawa, T., Adachi, J., Bono, H., Kondo, S. & Yamanaka, I. (2002). FANTOM consortium RIKEN genome exploration research group phase I & II team analysis of the mouse transcriptome based on functional annotation of 60,770 full-length cDNAs. *Nature*, 420(6915), 563-573.
27. Pickrell, A. M. & Youle, R. J. (2015). The roles of PINK1, Parkin, and mitochondrial fidelity in Parkinson's disease. *Neuron*, 85, 257-273.
28. Ruiz-Pesini, E., Lott, M. T., Procaccio, V., Poole, J. C., Brandon, M. C., Mishmar, D., Yi, C., Kreuziger, J., Baldi, P. & Wallace, D. C. (2007). An enhanced MITOMAP with a global mtDNA mutational phylogeny. *Nucleic Acids Research*, 35, 823-828.
29. Salimpour, M. (2016). *Differential Gene Expression Analysis Between the Holstein and Cholistani (a Pakistani Bbreed) Population Using RNA Sequencing (RNA-Seq)*. M. Sc. Thesis, University of Tehran, IRAN. (in Persian)
30. Salimpour, M., Miraei-Ashtiani, S. R. & Banabazi, M. H. (2019). Differential gene expression of two bovine *Bos Taurus* (Holstein) and *Bos Indicus* (Cholistani) sub-species using RNA-Seq data. *Iranian Journal of Animal Science*, 50(1), 47-55. (In Persian)
31. Schauer, M., Kottek, T., Schönherr, M., Bhattacharya, A., Ibrahim, S. M., Hirose, M., Rüdiger Köhling, R., Fuellen, G., Schmitz, U. & Kunz, M. (2015). A mutation in the NADH-dehydrogenase subunit 2 suppresses fibroblast aging. *Oncotarget*, 6(11), 8552.
32. Shi, Y., Hu, Y., Wang, J., Elzo, M. A., Yang, X. & Lai, S. (2018). Genetic diversities of MT-ND1 and MT-ND2 genes are associated with high-altitude adaptation in yak. *Mitochondrial DNA Part A*, 29(3), 485-494.
33. Soto, I. C., Fontanesi, F., Liu, J. & Barrientos, A. (2012). Biogenesis and assembly of eukaryotic cytochrome c oxidase catalytic core. *Biochimica Et Biophysica Acta (BBA)-Bioenergetics*, 1817(6), 883-897.
34. Tamura, K. & Nei, M. (1993). Estimation of the number of nucleotide substitutions in the control region of mitochondrial DNA in humans and chimpanzees. *Molecular Biology and Evolution*, 10, 512-526.
35. Tamura, K., Stecher, G., Peterson, D., Filipski, A. & Kumar, S. (2013). MEGA6: Molecular Evolutionary Genetics Analysis version 6.0. *Molecular Biology and Evolution*, 30(12), 2725–2729.
36. Tang, F., Barbacioru, C., Wang, Y., Nordman, E., Lee, C., Xu, N., Wang, X., Bodeau, J., Tuch, B. B., Siddiqui, A., Lao, K. & Surani, M. A. (2009). mRNA-Seq whole-transcriptome analysis of a single cell. *Nature Methods*, 6(5), 377.
37. Troy, C. S., MacHugh, D. E., Bailey, J. F., Magee, D. A., Loftus, R. T., Cunningham, P., Chamberlain, A. T., Sykes, B. C. & Bradley, D. G. (2001). Genetic evidence for Near-Eastern origins of European cattle. *Nature*, 410, 1088–1091.
38. Tuppen, H. A., Blakely, E. L., Turnbull, D. M. & Taylor, R.W. (2010). Mitochondrial DNA mutations and human disease. *Biochimica et Biophysica Acta*, 1797, 113-128.
39. Wang, K. C. & Chang, H. Y. (2011). Molecular mechanisms of long noncoding RNAs. *Molecular Cell*, 43(6), 904-914.